

ОТРАЖЕНИЕ ПРОДОЛЬНОЙ БЕГУЩЕЙ ВОЛНЫ ОТ НАДРЕЗА В СТЕРЖНЕ

М. А. Ильгамов, А. Г. Хакимов

Институт механики УНЦ РАН, Уфа

Аннотация. Исследуется отражение от поперечного надреза и прохождение продольной волны, распространяющейся по бесконечному стержню. Получена зависимость отраженной волны от параметров надреза. Постановка обратной задачи позволяет определить координату надреза и параметр, содержащий его глубину и длину, по данным падающей и отраженной волн в месте наблюдения.

Ключевые слова: бесконечный стержень, надрез, продольная бегущая волна, отраженная волна, проходящая волна, диагностика

1 Введение. Постановка задачи

В протяженных объектах типа трубопроводных систем не все участки могут быть доступны для визуального осмотра и приборного диагностирования. Но при доступности визуального осмотра не во всех случаях представляется возможным определение целостности конструкции. Здесь предлагается математическая модель для диагностики стержней с помощью замеров параметров продольных бегущих волн. В случае стержней конечной длины для определения наличия его дефектов может быть использовано изменение спектра собственных изгибных колебаний [1].

Рассматривается отражение от надреза и прохождение продольной бегущей волны, распространяющейся по бесконечному стержню площадью поперечного сечения F . В точке с координатой x_c стержень имеет надрез длиной l и площадью поперечного сечения стержня f . Причем длина надреза l значительно меньше длины волны L (Рис. 1). Требуется определить отраженную и проходящую волны по известным параметрам надреза и

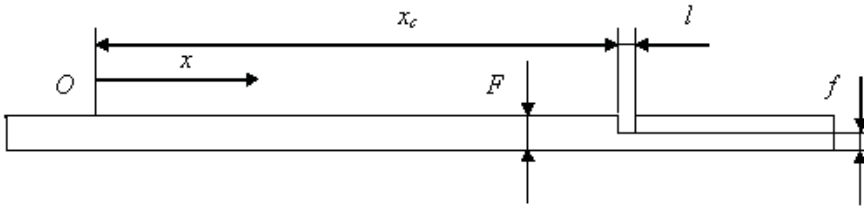


Рис. 1.

его координате (прямая задача). Определение координат надреза по отраженной волне в точке наблюдения и его размеров по отраженной и (или) проходящей волнам представляет собой обратную задачу.

Движение элемента стержня описывается волновым уравнением

$$\frac{\partial^2 u}{\partial t^2} = a^2 \frac{\partial^2 u}{\partial x^2}, \quad a^2 = \frac{E}{\rho}, \quad (1)$$

где u — продольные перемещения элементов стержня; a — скорость звука в стержне; E, ρ — модуль упругости и плотность материала стержня; x — продольная координата; t — время. Продольные перемещения, возбуждаемые источником, находящемся на расстоянии $x = -\infty$, задаются в виде бегущей волны в сторону возрастания координаты x :

$$u = U \sin(\omega t - \alpha x), \quad \alpha = \frac{\omega}{a}, \quad L = \frac{2\pi a}{\omega}, \quad (2)$$

где U, ω — амплитуда и частота; α — волновое число.

Решение уравнения (1) для области распространения отраженной волны имеет вид:

$$u_1 = A_1 \cos(\omega t + \alpha x) + B_1 \sin(\omega t + \alpha x), \quad -\infty \leq x \leq x_c, \quad 0 \leq t < \infty, \quad (3)$$

а для области распространения проходящей волны:

$$u_2 = A_2 \cos(\omega t - \alpha x) + B_2 \sin(\omega t - \alpha x), \quad x_c \leq x \leq \infty, \quad 0 \leq t < \infty. \quad (4)$$

Граничные условия в точке $x = x_c$ [2]:

$$x = x_c, \quad \frac{\partial(U + u_1)}{\partial x} = \frac{\partial u_2}{\partial x}, \quad u_2 = U + u_1 + \frac{mL}{\pi} \frac{\partial u_2}{\partial x}, \quad (5)$$

где

$$m = \frac{\pi l F}{L f}.$$

2 Прямая задача

Из условий (5) получаем

$$\begin{aligned} A_1 &= -D \frac{m\alpha L}{\pi} \left(\frac{m\alpha L}{\pi} \sin 2\alpha x_c - 2 \cos 2\alpha x_c \right), \\ B_1 &= D \frac{m\alpha L}{\pi} \left(\frac{m\alpha L}{\pi} \cos 2\alpha x_c + 2 \sin 2\alpha x_c \right), \\ A_2 &= -2D \frac{m\alpha L}{\pi}, \quad B_2 = 4D, \quad D = \frac{\pi^2 U}{(m\alpha L)^2 + 4\pi^2}. \end{aligned} \quad (6)$$

Перейдя к безразмерным переменным

$$\xi = \frac{2\pi x}{L}, \quad \xi_c = \frac{2\pi x_c}{L}, \quad \tau = \omega t$$

и учитывая, что $\alpha L = 2\pi$, падающую, отраженную и проходящую волны представим в виде:

$$\begin{aligned} u &= U \sin(\tau - \xi), \quad -\infty \leq \xi \leq \xi_c, \quad 0 \leq \tau < \infty, \\ u_1 &= \frac{mU}{m^2 + 1} [(-m \sin 2\xi_c + \cos 2\xi_c) \cos(\tau + \xi) + \\ &+ (m \cos 2\xi_c + \sin 2\xi_c) \sin(\tau + \xi)], \quad -\infty \leq \xi \leq \xi_c, \quad 0 \leq \tau < \infty, \\ u_2 &= \frac{U}{m^2 + 1} [-m \cos(\tau - \xi) + \sin(\tau - \xi)], \quad \xi_c \leq \xi \leq \infty, \quad 0 \leq \tau < \infty. \end{aligned} \quad (7)$$

Отраженную и проходящую волны можно представить также в виде:

$$\begin{aligned} u_1 &= k_1 U \sin[(\tau + \xi) - \varphi], \quad -\infty \leq \xi \leq \xi_c, \quad 0 \leq \tau < \infty, \\ \operatorname{tg} \varphi &= \frac{m \sin 2\xi_c - \cos 2\xi_c}{m \cos 2\xi_c + \sin 2\xi_c}, \\ u_2 &= k_2 U \sin[(\tau - \xi) - \psi], \quad \operatorname{tg} \psi = m, \quad \xi_c \leq \xi \leq \infty, \quad 0 \leq \tau < \infty. \end{aligned}$$

где коэффициенты отражения k_1 и прохождения k_2 равны

$$k_1 = \frac{m}{\sqrt{m^2 + 1}}, \quad k_2 = \frac{1}{\sqrt{m^2 + 1}}. \quad (8)$$

Угол сдвига фаз φ между падающей и отраженной волной определяется по формуле

$$\varphi = -2\xi + \operatorname{arctg} \frac{m \sin 2\xi_c - \cos 2\xi_c}{m \cos 2\xi_c + \sin 2\xi_c}. \quad (9)$$

При $\xi = 0$ уравнение движения элемента стержня записывается

$$u_1 = k_1 U \sin(\tau - \varphi), \quad 0 \leq \tau < \infty, \quad \operatorname{tg} \varphi = \frac{m \sin 2\xi_c - \cos 2\xi_c}{m \cos 2\xi_c + \sin 2\xi_c}.$$

Угол сдвига фаз между падающей и проходящей волной равен

$$\psi = \operatorname{arctg} m. \quad (10)$$

Из формул (8)–(10) видно, что коэффициенты отражения k_1 и прохождения k_2 , а также угол сдвига фаз ψ между падающей и проходящей волной зависят только от параметра m . Угол сдвига фаз φ между падающей и отраженной волной зависит как от параметра m , так и от положения надреза ξ_c и координаты ξ места проведения замеров. При $m \rightarrow 0$ коэффициенты $k_1 \rightarrow 0$ и $k_2 \rightarrow 1$,

$$\operatorname{tg} \varphi = \frac{-\cos 2\xi_c}{\sin 2\xi_c} = \operatorname{tg} \left(2\xi_c - \frac{\pi}{2} \right), \quad \varphi = 2 \left(\xi_c - \frac{\pi}{2} \right).$$

Суммарные перемещения V элемента стержня в точке наблюдения ($\xi = 0$) определяются по формуле

$$V = u + u_1 = U \sin \tau + \frac{mU}{m^2 + 1} [(-m \sin 2\xi_c + \cos 2\xi_c) \cos \tau + (m \cos 2\xi_c + \sin 2\xi_c) \sin \tau], \quad 0 \leq \tau < \infty,$$

или

$$V = CU \sin(\tau - \delta), \quad 0 \leq \tau < \infty,$$

$$C = \sqrt{\frac{2m^2(1 + \cos 2\xi_c) + 1 + 2m \sin 2\xi_c}{1 + m^2}}, \quad (11)$$

$$\operatorname{tg} \delta = \frac{m(m \sin 2\xi_c - \cos 2\xi_c)}{m^2(1 + \cos 2\xi_c) + m \sin 2\xi_c + 1},$$

где C — амплитуды относительных суммарных перемещений; δ — угол сдвига фаз в суммарной волне.

На Рис. 2–3 приводятся зависимости относительного перемещения элемента стержня при $\xi = 0$ в отраженной волне от безразмерного времени τ . Чем больше m , тем больше величина сигнала в отраженной волне. С увеличением параметра m также увеличивается угол сдвига фаз в отраженной волне. С изменением расположения надреза ξ_c также существенно изменяется угол сдвига фаз в отраженной волне.

Видно, что отраженные волны зависят от величины и положения надреза в стержне. Расчеты показывают, что для величины $\xi_c = 1$ и $\xi_c = 5$ кривые идентичны.

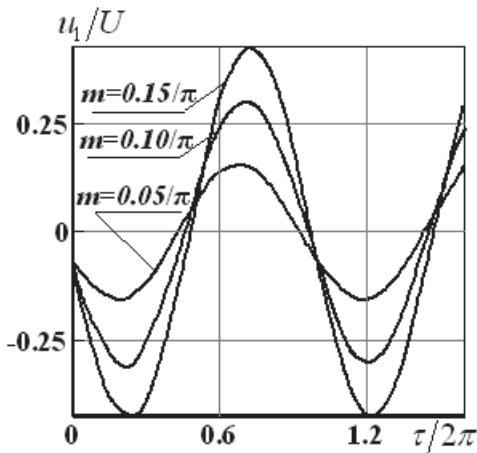


Рис. 2. Зависимость относительного перемещения элемента стержня при $\xi = 0$, $\xi_c = 2\pi/3$ в отраженной волне от безразмерного времени

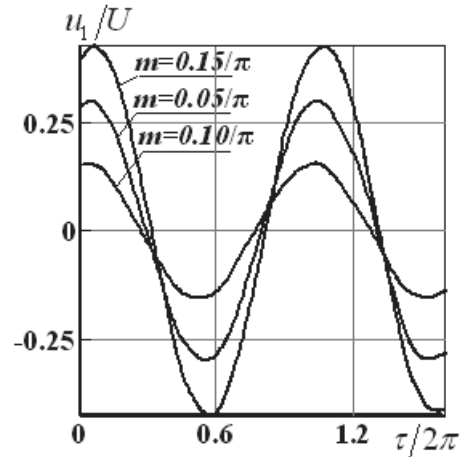


Рис. 3. Зависимость относительного перемещения элемента стержня при $\xi = 0$, $\xi_c = 2\pi$ в отраженной волне от безразмерного времени

Зависимость коэффициента отражения k_1 от параметра m приводится на Рис. 4. Видна линейная зависимость коэффициента отражения от параметра m для малых значений этого параметра.

Изменение угла сдвига фаз в отраженной волне от параметра m для различных значений ξ_c приводится на Рис. 5. С ростом параметра m происходит увеличение угла сдвига фаз.

Зависимость угла сдвига фаз в отраженной волне от параметра ξ_c для различных значений m дается на Рис. 6. Видна периодическая зависимость угла сдвига фаз в отраженной волне от положения надреза.

3 Обратная задача

Из соотношений (8)–(10) следует, что по известным коэффициентам отражения k_1 и прохождения k_2 можно определить параметр m :

$$m = \frac{k_1}{\sqrt{1 - k_1^2}}, \quad m = \frac{\sqrt{1 - k_2^2}}{k_2}. \quad (12)$$

Параметр m также определяется по углу сдвига фаз ψ между падающей и проходящей волнами

$$m = \operatorname{tg} \psi. \quad (13)$$

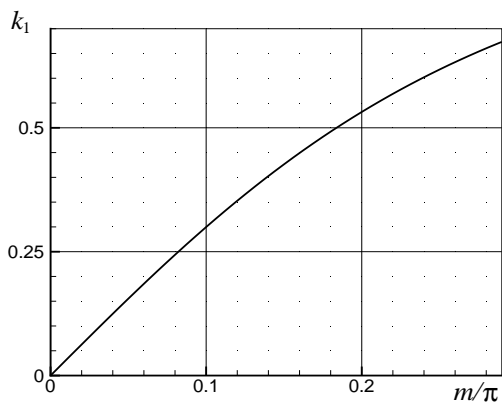


Рис. 4. Зависимость коэффициента отражения k_1 от параметра m

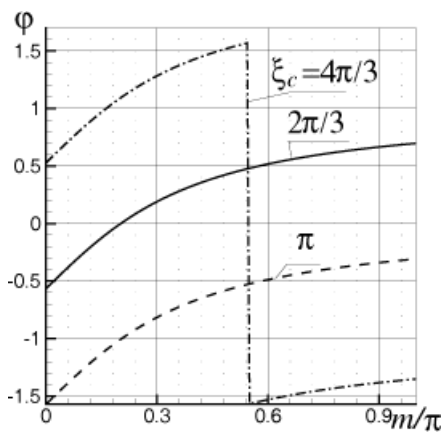


Рис. 5. Зависимость угла сдвига фаз в отраженной волне от m

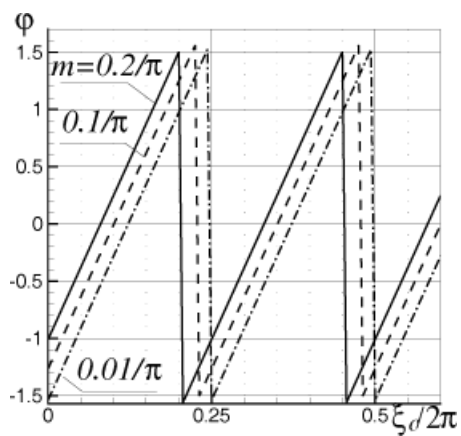


Рис. 6. Зависимость угла сдвига фаз в отраженной волне от ξ_c

Положение надреза ξ_c определяется по формуле

$$\xi_c = \frac{1}{2} \operatorname{arctg} \frac{1 + m \operatorname{tg}(2\xi + \varphi)}{m - \operatorname{tg}(2\xi + \varphi)}.$$

Но данная функция многозначная, поэтому можно рекомендовать замеры угла сдвига фаз φ между падающей и отраженной волнами для двух значений ξ . Например:

$$\begin{aligned} \text{при } \xi = 0 \quad \xi_c &= \frac{1}{2} \operatorname{arctg} \frac{1 + \pi m \operatorname{tg} \varphi_0}{\pi m - \operatorname{tg} \varphi_0}; \\ \text{при } \xi = \xi_1 \quad \xi_c &= \frac{1}{2} \operatorname{arctg} \frac{1 + m \operatorname{tg}(2\xi_1 + \varphi_1)}{m - \operatorname{tg}(2\xi_1 + \varphi_1)}. \end{aligned}$$

Выражение для амплитуды относительных суммарных перемещений может быть представлено в виде:

$$2m^2(1 + \cos 2\xi_c) - C^2(1 + m^2) + 2m \sin 2\xi_c + 1 = 0.$$

А из условия $V(\tau_1) = 0$ имеем

$$\sin \tau_1 + \frac{m}{m^2 + 1} [(-m \sin 2\xi_c + \cos 2\xi_c) \cos \tau_1 + (m \cos 2\xi_c + \sin 2\xi_c) \sin \tau_1] = 0.$$

Если значение амплитуды суммарных относительных перемещений C и величину τ_1 ($\tau_1 = \delta$) определить в точке $\xi = 0$ по показаниям прибора, то получим систему уравнений для определения параметра m и положения надреза ξ_c

$$\begin{cases} 2m^2(1 + \cos 2\xi_c) - C^2(1 + m^2) + 2m \sin 2\xi_c + 1 = 0, \\ \sin \tau_1 + \frac{m}{m^2 + 1} [(-m \sin 2\xi_c + \cos 2\xi_c) \cos \tau_1 + \\ + (m \cos 2\xi_c + \sin 2\xi_c) \sin \tau_1] = 0. \end{cases}$$

Решение этой системы уравнений громоздкое, поэтому здесь не приводится. Если параметр m определить из (12) или (13), то координата надреза ξ_c определяется по формуле

$$\begin{aligned} \xi_c = \frac{1}{2} \operatorname{arctg} \left\{ [m^2(C^2 - 2) + C^2 - 1 + \right. \\ \left. + \sqrt{m^2 C^2(4 - C^2) + 2C^2(3 - C^2) - \frac{(1 - C^2)^2}{m^2}}] (m^2 + 1)^{-1} \right\}. \end{aligned}$$

Изменение параметра m и координаты надреза ξ_c от амплитуды C суммарных перемещений при $\xi = 0$ приводится на Рис. 7(a) и 7(b) для различных значений угла сдвига фаз в суммарной волне. А на Рис. 7(c) и 7(d)

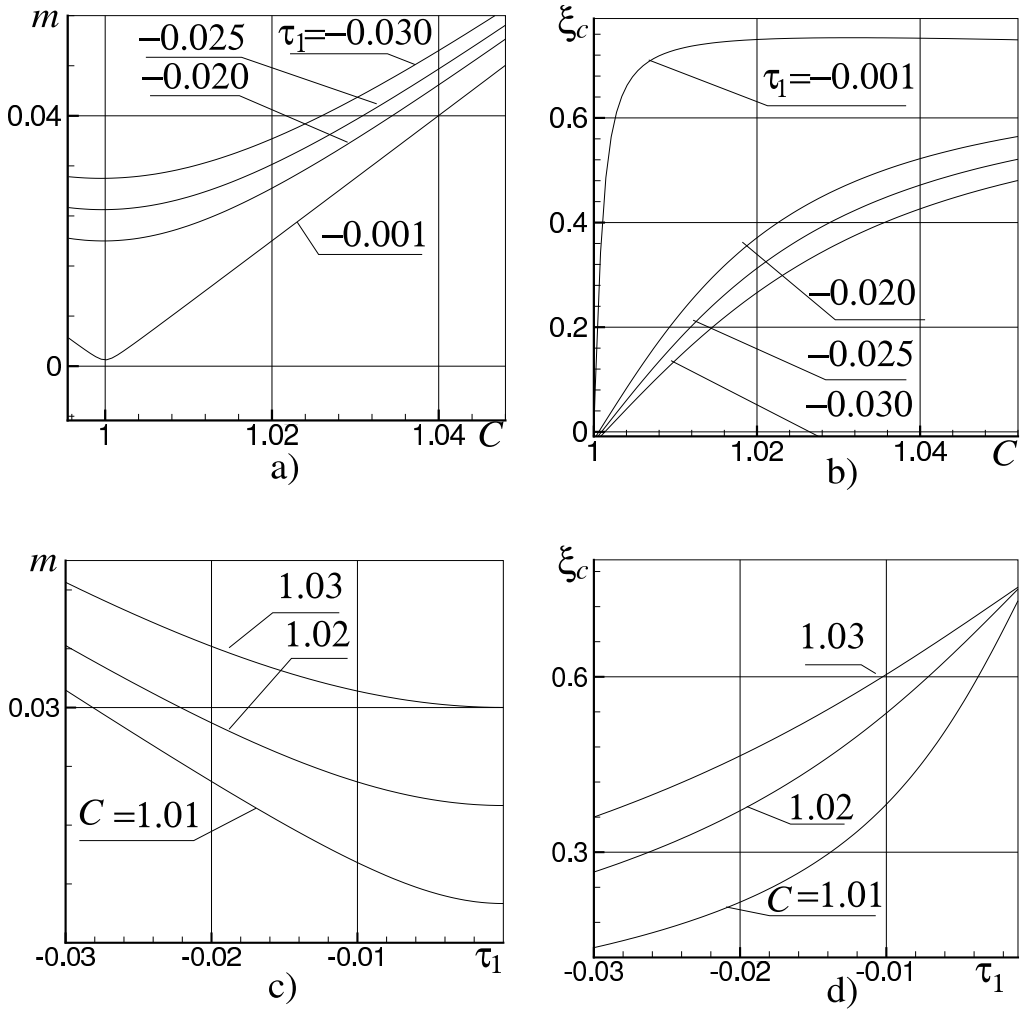


Рис. 7. а) Зависимость параметра m от амплитуды C суммарных перемещений при $\xi = 0$; б) Зависимость координаты надреза ξ_c от амплитуды C суммарных перемещений при $\xi = 0$; в) Зависимость параметра m от угла сдвига фаз в суммарной волне при $\xi = 0$; д) Зависимость координаты надреза ξ_c от угла сдвига фаз в суммарной волне при $\xi = 0$

даются зависимости этих же функций от угла сдвига фаз для различных значений амплитуды суммарных перемещений. С ростом амплитуды суммарных перемещений при одном и том же значении угла сдвига фаз происходит увеличение параметра m (Рис. 7(a)) и увеличение координаты надреза ξ_c (Рис. 7(b)). Таким образом, по замеренным значениям амплитуды C суммарных перемещений и угла сдвига фаз в суммарной волне можно определить параметр m и координату надреза ξ_c .

4 Заключение

Таким образом, анализ отраженных и суммарных волн позволяет сделать вывод о том, что амплитуда и угол сдвига фаз зависят от величины и положения надреза на стержне.

Следует отметить что, чем больше параметр m , тем больше угол сдвига фаз в отраженной волне при одном и том же ξ_c .

Получена линейная зависимость коэффициента отражения от величины надреза.

Полученная методика может быть применена для разработки прибора для диагностики длинных стержневых систем.

Список литературы

- [1] Ваньков Ю. В., Казаков Р. Б., Яковлева Э. Р. Собственные частоты изделия как информативный признак наличия дефектов. Электронный журнал «Техническая акустика». 2005. № 5. 7 с.
- [2] Ильгамов М. А. Диагностика повреждений вертикальной штанги. Настоящий сборник.